

УДК 535.2

КВАНТОВОЕ СТОХАСТИЧЕСКОЕ УРАВНЕНИЕ ДЛЯ РАДИАЦИОННО- СБАЛАНСИРОВАННОГО ЛАЗЕРА

С.В. Петрушкин

Аннотация

Представлено квантово-механическое описание квазидвухуровневого твердотельного лазера, которое может быть использовано для исследования влияния фоонов решетки на динамические характеристики лазера, функционирующего в режиме радиационного баланса.

Введение

Разработка мощных и сверхмощных твердотельных лазеров является в настоящее время важной проблемой лазерной физики. Известно, что обычный твердотельный лазер работает с выделением тепла. Чтобы избавиться от нагрева, создаются специальные внешние устройства охлаждения, дополняющие конструкцию лазера. В лазерах большой мощности такие внешние устройства могут оказаться малоэффективными, так как при охлаждении горячего рабочего вещества лазера извне возникают градиенты температуры и усиление внутренних напряжений в среде. Это, в свою очередь, приводит если не к разрушению рабочего стержня, то к ухудшению характеристик лазерного излучения и к падению мощности генерации.

В качестве способа компенсации выделяемого в твердотельных лазерах тепла недавно было предложено использовать механизм антистоксового охлаждения [1, 2]. В большинстве случаев мощность поглощения превышает мощность излучения, и их разница идет на увеличение внутренней энергии среды, приводящее к нагреву. Однако удивительным свойством ряда материалов является спонтанное излучение на большей частоте, чем частота поглощенного света. Это явление при соблюдении определенных условий может приводить к охлаждению среды, когда указанная разница в энергиях компенсируется за счет уменьшения внутренней энергии самого вещества. Лазерные системы, совмещающие в себе процесс генерации когерентного излучения и процесс антистоксового охлаждения, компенсирующий нагрев активной среды, были названы радиационно-сбалансированными лазерами [1] или самоохлаждающимися твердотельными лазерами [3].

Применять антистоксов механизм охлаждения было предложено двумя путями: использовать одни и те же примесные ионы как для усиления излучения, так и для охлаждения лазерной среды [1] или легировать активную среду лазера дополнительно примесью-хладагентом (так называемый двухпримесный лазер [2, 3]).

Нами уже была разработана квантовая теория двухпримесного лазера [4], а в данной работе предложена квантовая теория радиационно-сбалансированного лазера. Из первых принципов квантовой статистической физики получаем систему дифференциальных уравнений Гейзенберга, описывающих динамику квазидвухуровневого твердотельного лазера с учетом теплообмена активной среды лазера с кристаллической решеткой. В условиях, когда плотность интенсивности поглощения уравновешена плотностью интенсивности индуцированного и спонтанного

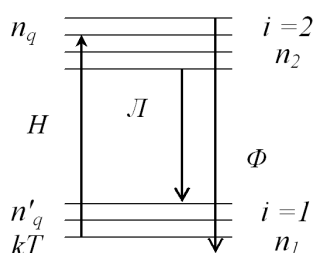


Рис. 1. Квазидвухуровневая модель активной среды радиационно-сбалансированного лазера. Н – накачка, Л – лазерная генерация, Ф – фотолюминесценция

излучения и, одновременно, когда плотности мощности поглощения и излучения равны друг другу (в стационарном режиме), данная система уравнений описывает радиационно-сбалансированный режим работы лазера: генерация происходит без выделения тепла. Чтобы эту систему уравнений проинтегрировать численно, мы, произведя исключение переменных термостата и фоновых переменных, проводим осреднение редуцированной системы уравнений по начальному состоянию. Полученные таким образом уравнения уже являются уравнениями Ланжевена. Далее, мы их усредняем по состояниям фотонного «теплового» резервуара, и в результате получаем балансовые уравнения на населенности лазерных состояний и уравнения, описывающие тепловые колебания решетки. Выведенную таким образом систему уравнений мы предлагаем использовать для численного моделирования работы лазера на примере лазера 1.04 мкм Yb:KGW с диодной накачкой.

1. Модель усиливающей среды

Кристаллическое поле матриц, в которые внедряются редкоземельные ионы, благодаря эффекту Штарка расщепляет энергетические уровни этих ионов. Из всех редкоземельных ионов трехвалентный иттербий (переход ${}^2F_{5/2} \rightarrow {}^2F_{7/2}$) может быть удовлетворительно описан квазидвухуровневым осциллятором, у которого основное и возбужденное состояния расщеплены на четыре и три подуровня соответственно. Безизлучательные переходы, связанные с конверсией вверх или с многофононным распадом, для такой системы не имеют существенного значения. Данный ион был успешно использован как для целей лазерного охлаждения [5], так и для лазерной генерации на длине волны 1.03 мкм [6, 7]. С точки зрения перспективы использования иттербия в качестве активной среды для радиационно-сбалансированного лазера необходимо решить задачу выбора матрицы, в которой как сечение излучения, так и число подуровней основного и возбужденного состояний были бы достаточно большими. Рассмотрим лазерную среду, которая хорошо описывается идеальной квазидвухуровневой моделью (см. рис. 1). Обратим внимание на то обстоятельство, что изменение энергии в рассматриваемых процессах имеет порядок величины, соответствующий комнатной температуре в энергетических единицах. Переходы между верхними и нижними электронными уровнями будем считать чисто оптическими. Это, в первую очередь, необходимо для осуществления эффективного антистоксового охлаждения и, впоследствии, для обеспечения радиационного баланса. Пусть переходы между подуровнями основного и возбужденного состояний являются неоптическими, а энергетический порядок суммарного расщепления соответствует комнатной температуре в энергетических единицах и равен kT , где k – постоянная Больцмана, а T – температура окружения. Электрон, поглощая фотон, совершает переход между двумя уровнями

примесного иона. При этом, положения равновесия ядер, окружающих примесной центр, различны в зависимости от того, находится ли примесной ион (или атом) в основном или возбужденном электронном состоянии. Очевидно, это связано со взаимодействием электрона с его окружением. Таким образом, поглощение света примесным центром сопровождается «отдачей смещений», с которой связана потенциальная энергия отдачи. Последняя является функцией смещения примесного иона (или атома) относительно его соседей в кристаллической решетке. Эта энергия может отбираться от основного кристалла путем поглощения одного или более квантов колебательной энергии. Таким образом, атом или примесной ион может обмениваться энергией с кристаллической матрицей посредством оптических фононов. Поскольку расстояние между подуровнями гораздо меньше kT , то время обмена энергией составляет пикосекунды. Если в лазерном материале радиационное время жизни возбужденного состояния имеет порядок миллисекунд, то атомы или ионы, находящиеся в основном и возбужденном состояниях, будут успевать приходить в квазитермодинамическое равновесие и заселять подуровни в соответствии со статистикой Больцмана. Именно это обстоятельство приводит к изменению средней частоты флуоресценции и делает возможным обеспечить радиационный баланс. Взяв за основу данную модель, поставим ей в соответствие гамильтониан в представлении вторичного квантования. Далее, составим кинетические уравнения относительно числа фотонов и населенности уровней, включая квантовые флуктуационные силы. В отличие от существующих подходов [8], в данной теории также будем рассматривать число заполнения фононной моды в качестве динамической переменной, временная эволюция которой связана с динамикой изменения числа заполнения фотонной моды. Это открывает возможности для исследования влияния фононной динамики на когерентное вынужденное усиление и позволит нам выяснить, как сильно эта динамика связана с устойчивостью лазерной генерации.

В принятой нами модели каждый лазерный уровень представляет собой электронно-колебательное состояние. Каждое из этих двух состояний описывается номером уровня i , числом атомов или ионов на данном уровне n_i и набором чисел заполнения возбужденных колебательных подуровней n_q всевозможных мод q . Удобным оказывается логически отделить те колебательные моды, которые задействованы при переходах между электронными уровнями (индекс r), и те, которые не принимают участия в указанных переходах (индекс q). Моды первого типа будем считать одинаковыми как для основного, так и для возбужденного состояния. Колебательные моды описываются так называемыми смещенными операторами рождения и уничтожения фононов решетки A_{qi}^+ и A_{qi} , $A_{qi} = A_q - A_{qi}^{(0)}$, где индекс «(0)» отвечает состоянию равновесия, а лазерные уровни $|i\rangle = |i, n_i, n_q\rangle$ описываются операторами рождения $b_{\mu i}^+$ и уничтожения $b_{\mu i}$ электронов, принадлежащих примесному иону или атому с номером μ и находящемуся в состоянии $|i\rangle$. Итак, появление атома или примесного иона в возбужденном или основном состоянии с определенными квантовыми числами задается в виде вектора, равного произведению вакуумных векторов гильбертового пространства, описывающих фермионное (электроны, ϕ_{0e}) и бозонное (фононы, смещенное основное состояние ψ_{0i}) поля, на которые действуют операторы рождения и уничтожения квантов этих полей

$$|i, n_i, n_q\rangle = \frac{1}{\sqrt{n_q!}} \prod_{f=1}^{n_i} b_{k_f i}^+ (A_{qi}^+)^{n_q} \phi_{0e} \psi_{0i}.$$

В принятых нами обозначениях лазерные уровни, изображенные на рис. 1, представляются в следующем виде

$$|1, n_1, p\rangle = \frac{1}{\sqrt{p!}} \prod_{f=1}^{n_1} b_{k_f 1}^+ (A_{q1}^+)^p \phi_{0e} \psi_{01}$$

для основного состояния и

$$|2, n_2, s\rangle = \frac{1}{\sqrt{s!}} \prod_{f=1}^{n_2} b_{k_f 2}^+ (A_{q2}^+)^s \phi_{0e} \psi_{02}.$$

для возбужденного состояния. Отметим, что ψ_{0i} представляет собой основное состояние смещенного осциллятора и является когерентным состоянием:

$$\psi_{0i} = \exp\left(-\frac{1}{2} |A_{qi}^{(0)}|^2\right) \exp\left(A_{qi}^{(0)} A_q^+\right) \Psi_0,$$

где Ψ_0 – основное состояние несмещенного гармонического осциллятора или вакуумное колебательное состояние. Пусть каждый активный атом или примесной ион в кристалле имеет координату z_μ и нумеруется индексом μ . Динамику системы в картине Гейзенберга мы будем описывать проекционными операторами на лазерные состояния $|i\rangle$ и $|j\rangle$, где i, j пробегает значения 1 и 2:

$$b_{in_q}^+ b_{jn'_q}(z) = \sum_{\mu} \delta(z - z_\mu) b_{\mu in_q}^+ b_{\mu jn'_q}, \quad (1)$$

где проекционный оператор на электронно-колебательное состояние одиночного атома или примесного иона имеет вид

$$b_{\mu in_q}^+ b_{\mu jn'_q} = b_{\mu i}^+ b_{\mu j} |n_q(i)\rangle \langle n'_q(j)| = \frac{1}{\sqrt{n_q! n'_q!}} b_{\mu i}^+ b_{\mu j} (A_{qi}^+)^{n_q} |\psi_{0i}\rangle \langle \psi_{0j}| (A_{qj}^+)^{n'_q}. \quad (2)$$

Например, число ионов, находящихся в состоянии $|i\rangle$, равно среднему значению от оператора (1) в этом состоянии:

$$\begin{aligned} \left\langle b_{in_q}^+ b_{jn'_q}(z) \right\rangle \Big|_{\substack{i=j \\ n_q=n'_q}} &= \sum_{\mu} \delta(z - z_\mu) \langle i, n_i, n_q | b_{\mu in_q}^+ b_{\mu in_q} | i, n_i, n_q \rangle = \\ &= \sum_{\mu} \delta(z - z_\mu) n_{\mu i} = n_i. \end{aligned}$$

Мы имеем дело с тремя типами квантовых электромагнитных полей: монохроматическая накачка, лазерное поле стоячей волны и фотонный резервуар спонтанно излученных квантов света, находящихся в термодинамическом равновесии. Последние позволяют в развиваемой здесь теории самосогласованным образом учесть эффекты, вызванные квантовыми шумами. Пусть операторы рождения и уничтожения фотонов a^+ и a описывают электромагнитное поле. Поле накачки представляет собой одномодовую волну с частотой ω_0 и направлением поляризации \mathbf{e} , распространяющуюся вдоль оси резонатора в направлении координаты z :

$$\mathbf{E}_p = i\mathbf{e} \sqrt{\frac{\hbar\omega_0}{2\varepsilon_0}} \{a_0 \exp[i(\omega_0 t - K_0 z)] + a_0^+ \exp[-i(\omega_0 t - K_0 z)]\},$$

где операторы a_0^+ и a_0 считаются не зависящими от времени.

Лазерное поле (в нашей модели – это поле стоячей волны) представляется набором пространственных мод λ , удовлетворяющих циклическому граничному условию на торцах резонатора длины L :

$$\mathbf{E}_p = i\mathbf{e} \sum_{\lambda} \sqrt{\frac{\hbar\omega_{\lambda}}{2\varepsilon_0}} (a_{\lambda}^+ - a_{\lambda}) \sin K_{\lambda}z,$$

$$\sin K_{\lambda}L = 0.$$

Пусть активная среда является изотропной. Тогда единичный вектор поляризации можно положить равным λ для всех длин волн. Частоты ω_{λ} отстроены от центральной лазерной частоты $\bar{\omega}$ на величину, кратную собственным частотам резонатора (m_{λ} – целое число):

$$\omega_{\lambda} = \bar{\omega} - m_{\lambda} \frac{\pi c}{L}.$$

Фотонный резервуар описывается матрицей плотности ρ_{bath} , так что матрица плотности общего электромагнитного поля ρ_F выражается через произведение матрицы плотности лазерного поля ρ_{laser} и поля спонтанных фотонов:

$$\rho_F = \rho_{\text{bath}} \otimes \rho_{\text{laser}} = \frac{1}{Z} \sum_{\{n_{\alpha}\}} \exp \left[-\frac{1}{kT} \sum_{\alpha} n_{\alpha} \hbar \omega_{\alpha} \right] |\{n_{\alpha}\}\rangle \langle \{n_{\alpha}\}| \otimes \sum_{\{n_{\beta}\}} \rho_{\{n_{\beta}\}\{n_{\beta}\}}(0) |\{n_{\beta}\}\rangle \langle \{n_{\beta}\}|,$$

где Z – статистическая сумма термостата, $\{n_{\xi}\}$ – числа заполнения фотонов.

Теперь можем перейти к гамильтониану полной системы. В общем виде в представлении вторичного квантования его можно записать следующим образом:

$$H = H_A + H_F + H_{\text{bath}} + H_{AF} + H_{A-\text{bath}}, \quad (3)$$

где гамильтониан единичного объема активной среды лазера H_A равен сумме электронного гамильтониана, фононного гамильтониана и гамильтониана электрон-фононного взаимодействия

$$H_A = H_e + H_{ph} + H_{e-ph}, \quad (4)$$

в котором

$$H_e = \sum_{\mu=1}^{n_1+n_2} \sum_{i=1}^2 E_i b_{\mu i}^+ b_{\mu i},$$

$$H_{ph} = \sum_{i=1}^2 \hbar \Omega_q \left(A_{qi}^+ A_{qi} + \frac{1}{2} \right) + \sum_{i=1}^2 \hbar \Omega_r \left(A_{ri}^+ A_{ri} + \frac{1}{2} \right) + \sum_{\chi, q', r'} \left[f^{(3)}(\chi, q', r') A_{\chi}^+ A_{q'} A_{r'} + \text{к.с.} \right].$$

Последнее слагаемое является нелинейным и описывает фонон-фононное взаимодействие между модами $\chi = q$ и $\chi = r$ и всеми другими модами q', r', \dots кристаллической решетки. Собственные частоты колебаний решетки и константы ангармонизма определяются силовыми константами $f^{(3)}$. Явный вид последнего

слагаемого из выражения (4), отвечающего за электрон-фононное взаимодействие, можно записать следующим образом

$$H_{e-ph} = \sum_{s,q',r'} \left[f^{(3)}(q, q', r') A_{q1}^{(0)} J_{s,0} b_{\mu 1}^+ b_{\mu 2} A_{q'}^+ A_{r'}^+ + \right. \\ \left. + f^{(3)}(q, q', r') A_{q1}^{(0)} J_{s,0} b_{\mu 2}^+ b_{\mu 1} A_{q'} A_{r'} \right],$$

что подразумевает релаксацию из возбужденных электронно-колебательных состояний верхнего уровня на самый нижний подуровень основного состояния. Здесь коэффициенты $f^{(3)}$ – это обобщенные силовые константы кристалла, а $|J_{s,0}|^2$ – фактор Франка–Кондона. Вообще говоря, поскольку основное состояние также имеет колебательные подуровни, то электрон-фононное взаимодействие принимает более сложный вид, и константа взаимодействия в этом случае явно зависит, в частности, от массы M примесного иона. Мы не будем здесь выписывать полный гамильтониан электрон-фононного взаимодействия, а лишь укажем на то, что в этом случае перед операторами рождения и уничтожения электронных и фононных возбуждений будем получать выражения вида

$$\sqrt{\frac{\hbar^k}{M^k \Omega_1 \dots \Omega_k}} J_{m_q, n_q} \langle k | H_{e-ph}(r_1 \dots r_k) | i \rangle.$$

Этот результат будет использован при выводе уравнений движения Гейзенберга (5) и (7).

Следующее слагаемое в (3) описывает как лазерное поле (моды λ), так и поле накачки (индекс «0»):

$$H_F = \sum_{\lambda} \hbar \omega_{\lambda} a_{\lambda}^+ a_{\lambda} + \hbar \omega_0 a_0^+ a_0.$$

Гамильтониан фотонного резервуара имеет вид

$$H_{\text{bath}} = \sum_{\alpha} \hbar \omega_{\alpha} B_{\alpha}^+ B_{\alpha}.$$

а взаимодействие с ним материальной среды описывается так:

$$H_{A-\text{bath}} = \sum_{\mu, \alpha} \sum_{i, j, q, q'} \{ V_{iq, jq'}^{\alpha} b_{\mu iq}^+ b_{\mu jq'} B_{\alpha} - V_{jq', iq}^{\alpha} b_{\mu iq}^+ b_{\mu jq'} B_{\alpha} \}$$

$$V_{in_q, jn_{q'}}^{\alpha} = -\mathbf{v}_{ij} \mathbf{e}_{\alpha} J_{n_q, n_{q'}} \sqrt{\frac{\hbar \omega_{\alpha}}{2 \varepsilon_0}} \sin K_{\alpha} z,$$

где \mathbf{v}_{ij} – вектор дипольного момента перехода между электронными состояниями i и j . И, наконец, гамильтониан взаимодействия системы атомов (или примесных ионов) с электромагнитным лазерным полем запишем в виде

$$H_{AF} = \sum_{\mu, s, p, \lambda} [V_{2s, 1p}^{\lambda} b_{\mu 2s}^+ b_{\mu 1p} a_{\lambda} - V_{1p, 2s}^{\lambda} b_{\mu 1p}^+ b_{\mu 2s} a_{\lambda}^+].$$

2. Квантовомеханические уравнения Ланжевена

Как уже говорилось выше, динамику модельной лазерной системы будем описывать проекционными операторами (1), которые зависят от времени параметрически: $[b_{in_q}^+ b_{jn_q'}] (z) = b_{in_q}^+ b_{jn_q'} (z, t)$. С помощью гамильтониана (3) и имея в виду

явный вид операторов (2), можно получить следующие уравнения Гейзенберга для проекционных операторов

$$\begin{aligned} \frac{d}{dt} \{b_{in_q}^+ b_{jn'_q}\} &= \frac{i}{\hbar} (E_{in_q} - E_{jn'_q}) b_{in_q}^+ b_{jn'_q} + \\ &+ \frac{i}{\hbar} \sum_{\lambda, k, m_q} (V_{km_q, in_q}^\lambda b_{km_q}^+ b_{jn'_q} - V_{jn'_q, km_q}^\lambda b_{in_q}^+ b_{km_q}) (a_\lambda - a_\lambda^+) + \\ &+ \frac{i}{\hbar} \sum_{r_1 r_2 r_3 \dots r_k} \sum_{k, m_q} \left(\sqrt{\frac{\hbar^k}{M_k \Omega_1 \dots \Omega_k}} [J_{m_q, n_q} \langle k | H_{e-ph}(r_1 \dots r_k) | i \rangle b_{km_q}^+ b_{jn'_q} - \right. \\ &- J_{n'_q, m_q} \langle j | H_{e-ph}(r_1 \dots r_k) | k \rangle b_{in_q}^+ b_{km_q}] \left(\prod_k A_{r_k} + \prod_k A_{r_k}^+ \right) + \\ &\left. + \frac{i}{\hbar} \sum_{\alpha, k, m_q} (V_{km_q, in_q}^\alpha b_{km_q}^+ b_{jn'_q} - V_{jn'_q, km_q}^\alpha b_{in_q}^+ b_{km_q}) (B_\alpha - B_\alpha^+) \right), \quad (5) \end{aligned}$$

а для уравнения движения электромагнитного лазерного поля получаем

$$\frac{d}{dt} a_\lambda = -i\omega_\lambda a_\lambda - \kappa_\lambda a_\lambda + \frac{i}{\hbar} \sum_{s, p} V_{s, 2p}^\lambda b_{1s}^+ b_{2p}. \quad (6)$$

Потери в резонаторе мы учли во втором члене правой части уравнения (6) введением скорости затухания κ_λ . Далее, эволюция фотонного резервуара описывается уравнением

$$\frac{d}{dt} B_\alpha = -i\omega_\alpha B_\alpha + \frac{i}{\hbar} \sum_{i, j, n_q, n'_q} V_{in_q, jn'_q}^\alpha b_{in_q}^+ b_{jn'_q}.$$

Для того чтобы система оказалась замкнутой, нам остается выписать уравнение, описывающее временную эволюцию оператора уничтожения фононов тех колебательных мод, которые участвуют при переходах между электронными состояниями:

$$\begin{aligned} \frac{d}{dt} A_r &= -i\Omega_r A_r - \Gamma_r A_r - \\ &- \frac{i}{\hbar} \sum_{\substack{r_1 r_2 r_3 \dots r_k \\ n_r \dots n_{r_k}}} \sum_{i, j, n_q, n'_q} n_r \sqrt{\frac{\hbar^k}{M_k \Omega_1 \dots \Omega_k}} J_{n_q, n'_q} \langle i | H_{e-ph}(r r_1 \dots r_k) | j \rangle \times \\ &\times b_{in_q}^+ b_{jn'_q} (A_r^+)^{n_r-1} \prod_k (A_{r_k}^+)^{n_{r_k}} + \Phi_r(t), \quad (7) \end{aligned}$$

где скорость затухания Γ_r и случайная сила $\Phi_r(t)$ обязаны фонон-фононному взаимодействию и определены следующими выражениями:

$$\begin{aligned} \Gamma_r &= \frac{1}{\hbar^2} \sum_{r', r''} |f^{(3)}(r, r', r'')|^2 \langle |A_{r'}(0)|^2 \rangle \langle |A_{r''}(0)|^2 \rangle \delta(\Omega_r \pm \Omega_{r'} \pm \Omega_{r''}), \\ \langle \Phi_r(t) \Phi_r^*(t') \rangle &= \Omega_r \Gamma_r \langle |A_r(0)|^2 \rangle e^{i\Omega_r(t-t')}. \end{aligned}$$

В формуле (7) n_r обозначает число фононов мод r , которые появились при данном многофононном процессе. Заметим, что чем меньше это число, тем выше будет квантовый выход фотолюминесценции, и тем более благоприятными окажутся условия для реализации радиационно-балансированного режима лазерной генерации.

Заключение

Из первых принципов квантовой статистической физики мы получили систему дифференциальных уравнений Гейзенберга, описывающих динамику квазидвух-уровневого твердотельного лазера с учетом теплообмена активной среды лазера с кристаллической решеткой лазерного стержня. В условиях, когда плотность интенсивности поглощения ($\text{см}^{-3}\text{с}^{-1}$) уравновешена плотностью интенсивности индуцированного и спонтанного излучения и, одновременно, когда плотности мощности поглощения и излучения ($\text{Вт}/\text{см}^3$) равны друг другу (в стационарном режиме), данная система уравнений описывает радиационно-сбалансированный режим работы лазера: генерация происходит без выделения тепла. Полученную систему уравнений необходимо проинтегрировать численно. Для этого, произведя стандартные процедуры исключения переменных термостата и фоновых переменных [8], можно провести усреднение редуцированной системы уравнений по начальному состоянию. Если полученные уравнения далее усреднить по состояниям фотонного «теплового» резервуара, то в результате этой процедуры должны получиться обычные балансовые уравнения на населенности лазерных состояний и уравнения, описывающие тепловые колебания решетки. Чтобы в уравнениях избавиться от пространственной координаты, необходимо провести интегрирование по переменной z . Полученную таким образом систему уравнений уже можно будет использовать для численного моделирования работы лазера, подставляя значения параметров, отвечающих характеристикам конкретных лазерных сред, например, лазера $1.04\ \mu\text{м Yb:KGW}$ с диодной накачкой. Проведя анализ численных решений, можно получить значения параметров задачи, отвечающих оптимальным режимам функционирования радиационно-сбалансированного лазера. На этой основе данное исследование позволит дать рекомендации по выбору среды, рабочих частот и подходящих интенсивностей для реализации радиационно-сбалансированного лазера, функционирующего без избытка тепла. Разработка указанных проблем будет являться предметом наших дальнейших работ.

Работа поддержана грантами РФФИ (№ 04-02-16932-а, 04-02-81009-Бел2004-а), «Фондом содействия отечественной науке» и грантом CRDF (Программа BRNE, REC-007).

Summary

S. V. Petrushkin. Quantum-stochastic equation for radiation-balanced laser.

A quantum-mechanical description of quasi-two-level solid-state laser is presented. The impurity ion levels are coupled both by the phonons of the host lattice and by the radiation field. The set of dynamic Heisenberg – Langevin equations for the material system and the phonon operators has been derived. These equations include radiative and nonradiative damping terms and quantum-stochastic forces. This description could be used for investigation of the influence of phonon dynamics on a radiation-balanced laser stability.

Литература

1. *Bowman S.R.* Lasers without internal heat generation // IEEE J. Quantum Electronics. – 1999. – V. QE-35. – P. 115–122.
2. *Andrianov S.N., Samartsev V.V.* Solid-state lasers with internal laser refrigeration effect // Proc. SPIE. – 2001. – V. 4605. – P. 208–213.
3. *Petrushkin S.V., Shakhmuratov R.N., Samartsev V.V.* Self-cooling of the active element of a solid-state laser // Laser Physics. – 2002. – V. 12. – P. 1387–1390.

4. *Petrushkin S.V., Samartsev V.V.* Laser cooling of active media in solid-state lasers // *Laser Physics*. – 2003. – V. 13. – P. 1290–1296.
5. *Epstein R.I., Buchwald M.I., Edwards B.C. et al.* Observation of laser-induced fluorescent cooling of a solid // *Nature*. – 1995. – V. 377. – P. 500–506.
6. *Payne S.A., Beach R.J., Bibeau C. et al.* Diode arrays, crystals, and thermal management for solid-state lasers // *IEEE J. Select Topics Quantum Electron.* – 1997. – V. 3. – P. 71–81.
7. *Brusselbach H.W., Sumida D.S., Reeder R.A., Byren R.W.* Low-heat high-power scaling using InGaAs-diode-pumped Yb:YAG lasers // *IEEE J. Select Topics Quantum Electron.* – 1997. – V. 3. – P. 105–116.
8. *Петрушкин С.В., Самарцев В.В.* Лазерное охлаждение твердых тел. – М.: Физматлит, 2005. – 225 с.

Поступила в редакцию
30.01.06

Петрушкин Сергей Валериевич – кандидат физико-математических наук, научный сотрудник лаборатории нелинейной оптики Казанского физико-технического института им. Е.К. Завойского КНЦ РАН.

E-mail: petrushkin@samartsev.com